

# Der Treffpunkt des Wasserstrahls eines Ueberfalls mit dem Boden

Autor(en): **Deischa, A.**

Objektyp: **Article**

Zeitschrift: **Schweizerische Bauzeitung**

Band (Jahr): **81/82 (1923)**

Heft 14

PDF erstellt am: **13.11.2019**

Persistenter Link: <http://doi.org/10.5169/seals-38890>

## **Nutzungsbedingungen**

Die ETH-Bibliothek ist Anbieterin der digitalisierten Zeitschriften. Sie besitzt keine Urheberrechte an den Inhalten der Zeitschriften. Die Rechte liegen in der Regel bei den Herausgebern.

Die auf der Plattform e-periodica veröffentlichten Dokumente stehen für nicht-kommerzielle Zwecke in Lehre und Forschung sowie für die private Nutzung frei zur Verfügung. Einzelne Dateien oder Ausdrucke aus diesem Angebot können zusammen mit diesen Nutzungsbedingungen und den korrekten Herkunftsbezeichnungen weitergegeben werden.

Das Veröffentlichen von Bildern in Print- und Online-Publikationen ist nur mit vorheriger Genehmigung der Rechteinhaber erlaubt. Die systematische Speicherung von Teilen des elektronischen Angebots auf anderen Servern bedarf ebenfalls des schriftlichen Einverständnisses der Rechteinhaber.

## **Haftungsausschluss**

Alle Angaben erfolgen ohne Gewähr für Vollständigkeit oder Richtigkeit. Es wird keine Haftung übernommen für Schäden durch die Verwendung von Informationen aus diesem Online-Angebot oder durch das Fehlen von Informationen. Dies gilt auch für Inhalte Dritter, die über dieses Angebot zugänglich sind.

und damit plastische Deformation zu gewährleisten, so durchzieht sich das Gestein mit den, den Bruch einleitenden Gleitflächen, wie sie von Kármán an Steinprismen festgestellt wurden, nachdem Ähnliches früher schon von Hartmann beim Eisen konstatiert worden war. Wenn die Ueberlagerung noch weiter abnimmt, so treten wir ins Bruchstadium, d. h. es findet wesentliche Bewegung auf einzelnen Gleitflächen, aber zunächst noch ohne Trennung und völlige Aufhebung der Kohäsion statt. Wird die Ueberlagerung noch kleiner, so wird der Bruch vollständig, d. h. es findet in einem Teil dieser Flächen Trennung statt, sodass offene Spalten das Gebirge durchziehen, das nun wohl noch mehr oder weniger grosse Einzelstücke von hoher Festigkeit enthalten mag, aber als Ganzes wenig tragfähig ist.

Ich glaube den Schluss ziehen zu dürfen, dass meine auf allereinfachsten und ungezwungenen Annahmen beruhende Auffassung mit der Erfahrung in gutem Einklange steht, ohne dabei im Prinzip den Anschauungen von Prof. Heim zu widersprechen. Dass dieser zu Schlussfolgerungen gelangte, die die Praxis als allzupessimistisch verwarf, erklärt sich ganz natürlich dadurch, dass der frühere Stand der Erkenntnis ihm nicht gestattete, den enormen Unterschied zwischen Erreichung der «Festigkeit» in gewöhnlichem Sinne und dem Eintritt der Plastizität wahrzunehmen und zu würdigen. Er erwartete schon bei verhältnismässig kleiner Ueberlagerung Verhältnisse, die den Tunnelbau sozusagen unmöglich machen müssten; diese tritt aber erst in mehrfacher, uns kaum je zugänglicher Tiefe ein.

Genf, den 20. Februar 1923.

### Der Treffpunkt des Wasserstrahls eines Ueberfalls mit dem Boden.

Von Prof. A. Deischa in Moskau.

Der fallende Wasserstrahl verursacht wie bekannt beim Treffen des Bodens grosse Erosionen, die besonders auffallend sind hinter Ueberfallwehren, die auf weichem Boden stehen. Solche Stellen müssen besonders verstärkt werden. Es ist deshalb von Interesse, dem projektierenden Ingenieur eine graphische Methode in die Hand zu geben, mittels der er den Treffpunkt der fallenden Wassermenge mit dem Boden bestimmen kann.

Für das Ausfliessen eines Wasserstrahls aus einer kleinen Oeffnung in einer vertikalen Wand gelten die folgenden Beziehungen (vergl. obenstehende Abbildung 1)

$$l = v t \quad \dots \quad (1)$$

$$h = \frac{g t^2}{2} \quad \dots \quad (2)$$

$$v = \sqrt{2gH} \quad \dots \quad (3)$$

$$\frac{l^2}{2gH} = t^2 = \frac{2h}{g} \quad \dots \quad (4)$$

$$l = 2\sqrt{Hh} \quad \dots \quad (5)$$

Aus der Gl. (5) folgt die Konstruktion der Abbildung 1.

Beim Ausfliessen über einen rechteckigen Ueberfall haben die obere Wasserteilchen eine kleine, die untere eine grosse horizontale Geschwindigkeit. Deshalb findet zwischen den unteren und den oberen Teilchen ein unelastischer Stoss statt. Es ist somit

$$\Sigma(m_0 v_0 + m_n v_n) = M v_x \quad \dots \quad (6)$$

$$v_x = \frac{\int d(mv)}{M} \quad \dots \quad (7)$$

$$d(mv) = \frac{\gamma}{g} \mu dH b 2gH = \mu \gamma b 2H dH \quad \dots \quad (8)$$

wo  $b$  die Breite des Ueberfalls ist.

$$\int d(mv) = \mu \gamma b H^2 + C \quad \dots \quad (9)$$

$$M = \frac{\gamma}{g} Q = \frac{\gamma}{g} \frac{2}{3} \mu b H \sqrt{2gH} \quad \dots \quad (10)$$

$$v_x = \frac{\mu \gamma b H^2 3g}{\mu \gamma 2b H \sqrt{2gH}} = \frac{3\sqrt{gH}}{2\sqrt{2}} \quad \dots \quad (11)$$

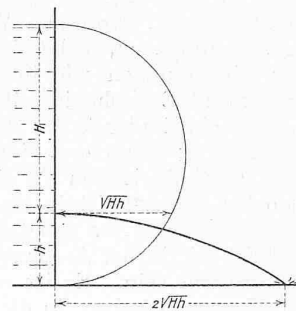


Abb. 1.

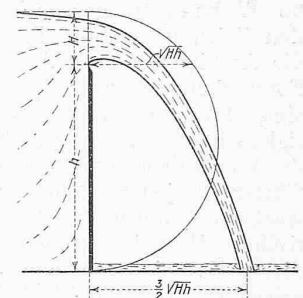


Abb. 2.

Aus den Gl. (1), (2) und (11) erhalten wir in gleicher Weise wie für den ersten Fall

$$\frac{l^2}{\left(\frac{3}{2}\sqrt{\frac{gH}{2}}\right)^2} = \frac{2h}{g} \quad \dots \quad (12)$$

$$l^2 = \frac{2h 3^2 g H}{g 2^2 2} = \frac{3^2 h H}{2^2} \quad \dots \quad (13)$$

$$l = \frac{3}{2} \sqrt{hH} \quad \dots \quad (14)$$

Die Länge  $l$  kann also konstruiert werden, wie es in Abbildung 2 angegeben ist.

### Genossenschafts-Wohnbauten in Prélaz bei Lausanne.

Architekten Gilliard & Godet in Lausanne.

Die zahlreichen Darstellungen neuzeitlicher Wohnkolonien, die wir in den letzten Jahren aus dem Gebiet der Ost- und Zentralschweiz unsern Lesern gezeigt haben, können wir heute durch ein Beispiel aus der Westschweiz ergänzen. Wir tun dies anhand einer ausführlichen, durch viele Zahlen bereicherten Beschreibung im „Bulletin Technique de la Suisse romande“ vom 17. März d. J., dem wir für die freundliche Ueberlassung der Bildstöcke danken, und auf das wir Interessenten bezüglich technischer Einzelheiten verweisen.

Gestützt auf eingehendes Studium englischer, deutscher und schweizerischer Beispiele sind die Architekten zu dem



Abb. 3. Genossenschafts-Wohnbauten in Prélaz bei Lausanne (aus Süd-West).